

Якимчик А.И., канд. физ.-мат. наук, ст. научн. сотр.,
 Дубовенко Ю.И., канд. физ.-мат. наук, научн. сотр.,
 Черная О.А., канд. физ.-мат. наук, ст. научн. сотр.
 Институт геофизики им. С.И. Субботина НАН Украины
 пр. Палладина 32, Киев-142
 телефон 424-20-52, dubovenko@igph.kiev.ua

ПОСТРОЕНИЕ ЛИНЕЙНЫХ АНАЛИТИЧЕСКИХ АППРОКСИМАЦИЙ ПО РЕЗУЛЬТАТАМ ГРАВИМЕТРИЧЕСКИХ СЪЕМОК МОРСКИХ АКВАТОРИЙ

Введем декартовую прямоугольную систему координат, направив ось аппликат вертикально вверх и приняв плоскость $z=0$ за уровень моря. Рассмотрим проблему построения линейных аналитических аппроксимаций по данным морской гравиметрии в локальном варианте (т. е. когда сферичностью Земли можно пренебречь) элементов внешнего аномального гравитационного поля по заданным на поверхности моря значениям аномалий в свободном воздухе $\Delta g_i(x^{(i)}, y^{(i)})$, $i=1, 2, \dots, N$. Будем использовать следующую линейную аналитическую аппроксимацию:

$$\Delta g_{анп}(x, y, z) \approx \Delta g(x, y) = \sum_{j=1}^N \frac{c_j z}{[(x - x^{(j)})^2 + (y - y^{(j)})^2 + z^2]^{3/2}},$$

где c_i – коэффициенты, которые должны находиться из условий

$$\Delta g_{анп}(x^{(i)}, y^{(i)}, z^{(i)}) \approx \Delta g_i, \quad i=1, 2, \dots, N.$$

Для определенности зададим плоскость $z=+1$. Нахождение вектора c сводится к решению системы линейных уравнений $Ac = \Delta g$ с N – мерными векторами – столбцами неизвестных $c = (c_1, c_2, \dots, c_N)^T$, свободных членов $\Delta g = (\Delta g_1, \Delta g_2, \dots, \Delta g_N)^T$ и квадратной, симметрической, положительно определенной матрицей $A = (a_{ij})$, элементы которой суть

$$a_{ij} = a_{ji} = \frac{1}{[1 + (x^{(i)} - x^{(j)})^2 + (y^{(i)} - y^{(j)})^2]^{3/2}}, \quad 1 \leq i, j \leq N.$$

Учитывая свойства матрицы, для решения системы используем разложение Холецкого, предусматривающее представление матрицы A в виде произведения LL^T , в котором нижняя треугольная матрица L имеет на главной диагонали положительные элементы. После нахождения разложения $A = LL^T$ вычисление корней исходной системы сводится к последовательному решению двух систем с треугольными матрицами $Lu = \Delta g$ и $L^T c = u$.

Авторы придают первостепенное значение расчетам, выполненным на практическом материале. В качестве данных использовались значения $\Delta g_i(x^{(i)}, y^{(i)})$ одного из участков (см. рисунок. 1) схемы гравитационного поля Причерноморского – Крымского нефтегазоносного региона масштаба 1:500000, полученные с помощью программного комплекса [1] ввода в компьютер изображений карт с последующим определением по введенным данным значений поля в узлах заданной (обычно прямоугольной) сети. Некоторые характеристики исходных данных и результаты решения задачи приведены в таблице 1.

В заключение коротко о том, какие задачи могут решаться с помощью найденной аналитической аппроксимации поля. Приведем некоторые основные типы задач [2]:

1) нахождение значений $\Delta g(x, y, z)$ на горизонтальных плоскостях $z = \text{const} > 0$, а также построение изолиний поля Δg на этих плоскостях (здесь особо стоит выделить пересчеты на горизонтальные поверхности ниже поверхности моря); 2) нахождение в узлах регулярных сетей на горизонтальных плоскостях $z = \text{const} > 0$ других элементов внешнего аномального гравитационного поля, в первую очередь – вторых производных от потенциала аномального поля (и опять-таки построение на указанных плоскостях изолиний новых элементов аномального гравитационного поля); 3) нахождение спектральных представлений поля $\Delta g(x, y, z)$; здесь имеются в виду представления интегралами Фурье; 4) нахождение значений

различного рода линейных функционалов от поля $\Delta g(x, y, z)$, например интегралов (с различными весами) по плоскостям $z = \text{const}$, расположенными выше поверхности моря.

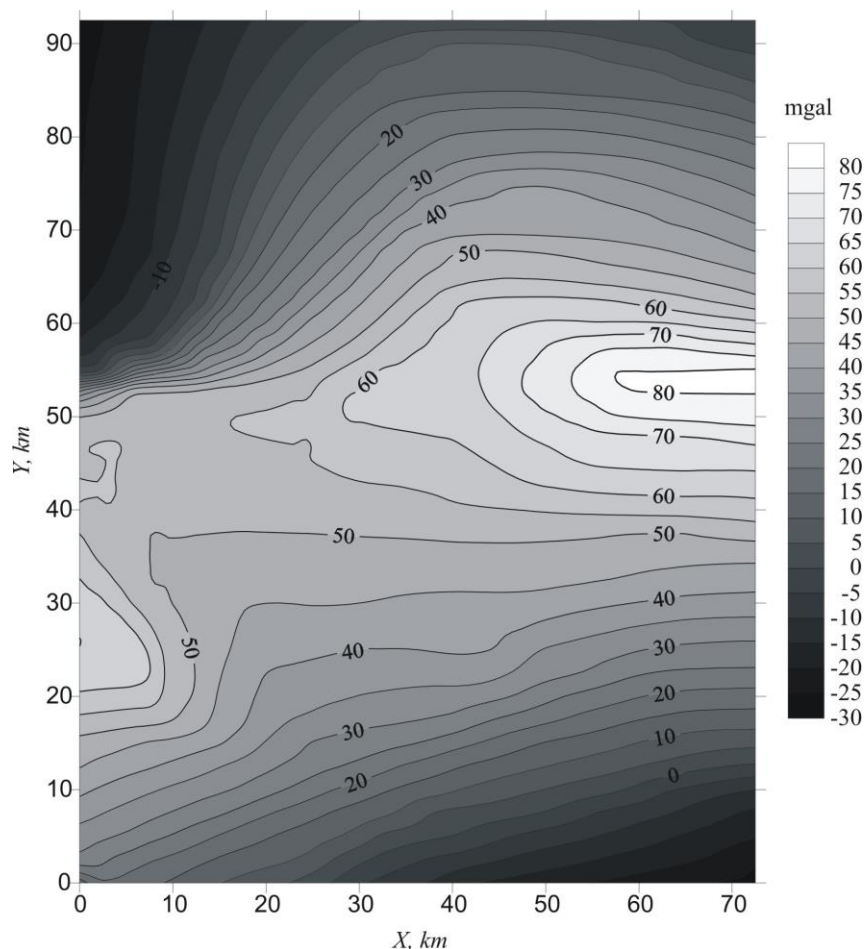


Рис. 1. Схема гравитационного поля

Таблица 1. Аппроксимация гравитационного поля

Площадь участка, км ²	6706,25	Шаг по осям, км	2,5
Количество сечений по оси абсцисс	30	Максимальное значение по x , км	72,5
Количество сечений по оси ординат	38	Максимальное значение по y , км	92,5
Минимальное значение поля, мГал	-26,0	Число уравнений и неизвестных	1140
Максимальное значение поля, мГал	80,9	Время счета (в секундах)	173
Макс. отн. погр. $\max_{1 \leq i \leq N} \Delta g - \Delta g_{\text{аннп}} / \Delta g $	$2,59 \cdot 10^{-6}$	$\ \Delta g - \Delta g_{\text{аннп}}\ _E / \ \Delta g\ _E$	$5,82 \cdot 10^{-7}$
Мин. отн. погр. $\min_{1 \leq i \leq N} \Delta g - \Delta g_{\text{аннп}} / \Delta g $	0	$\ A_c - \Delta g\ _E / \ \Delta g\ _E$	$9,32 \cdot 10^{-15}$

1. Старостенко В.И., Легостаева О.В., Макаренко И.Б., Павлюк Е.В., Шарыпанов В.М. Об автоматизированном вводе в компьютер изображений геолого-геофизических карт с разрывами первого рода и визуализации в интерактивном режиме трехмерных геофизических моделей и их полей // Геофиз. журн. – 2004. – **26**, № 1. – С. 3–13.; 2. Страхов В.Н. Об эффективных по быстродействию и точности методах построения линейных аналитических аппроксимаций в геодезии, геоинформатике и гравиметрии // Геофиз. журн. – 2007. – **29**, № 1. – С. 56–84.

Yakimchik A.I., Dubovenko Y.I., Chernaya O.A. Construction of linear analytical approximations by the results of marine gravity surveys